



微纳光子学

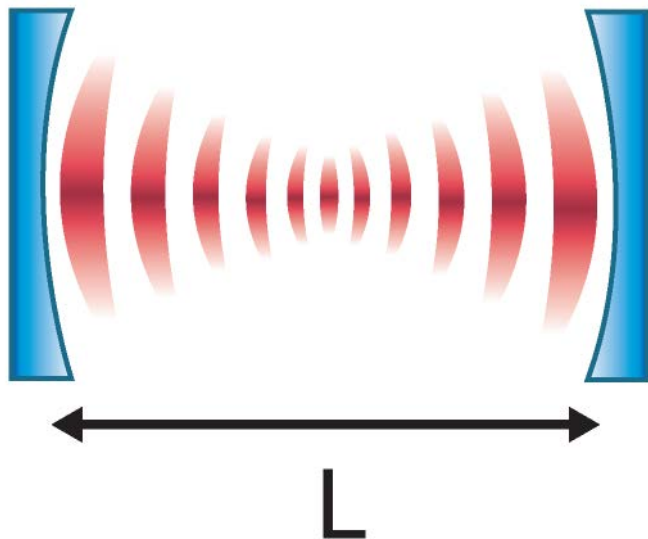
- 现代工程与应用科学学院
 - 2020-4-1



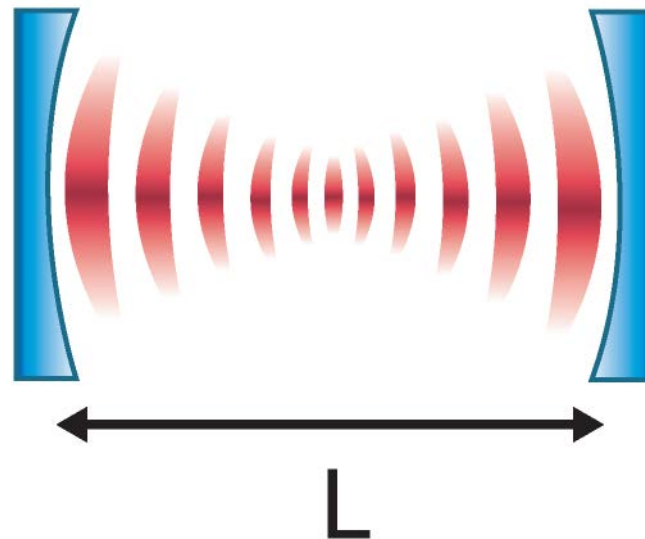
光学微腔



Optical **cavity**



Optical **microcavity**



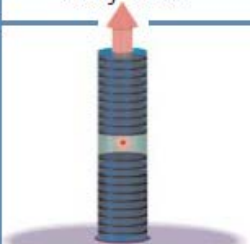

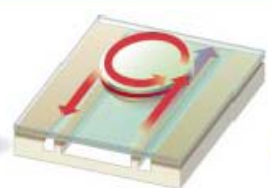
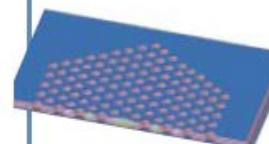
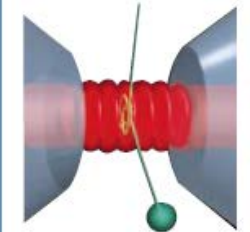
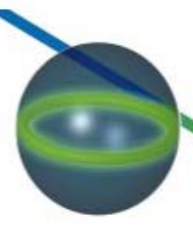

$$\omega = \pi mc / (nL)$$



光学微腔



光学微腔分类

	Fabry-Perot	Whispering gallery	Photonic crystal
High Q	 $Q: 2,000$ $V: 5 (\lambda/n)^3$	 $Q: 12,000$ $V: 6 (\lambda/n)^3$  $Q_{III-V}: 7,000$ $Q_{Poly}: 1.3 \times 10^5$	 $Q: 13,000$ $V: 1.2 (\lambda/n)^3$
Ultrahigh Q	 $F: 4.8 \times 10^5$ $V: 1,690 \mu m^3$	 $Q: 8 \times 10^9$ $V: 3,000 \mu m^3$  $Q: 10^8$	

FP腔

回音壁腔

光子晶体微腔



光学微腔

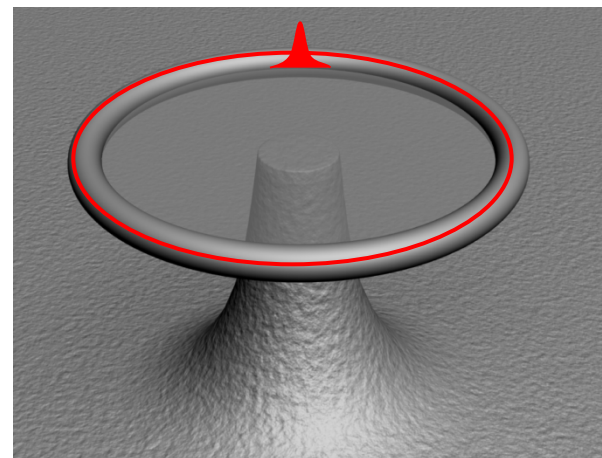


回音壁模微腔 (Whispering gallery mode)



特征:

高品质因子
小模式体积



$$Q=10^8$$
$$D=10\ \mu\text{m}$$



$$N=5 \times 10^6$$
$$L_{\text{eff}} \approx 16\ \text{m}$$



$$\nabla^2 E + k_{1,2}^2 E = 0$$

球坐标下为

$$\frac{1}{r^2} \frac{\partial}{\partial r} (r^2 \frac{\partial}{\partial r}) E(r, \theta, \varphi) + \frac{1}{r^2 \sin \theta} \frac{\partial}{\partial \theta} (\sin \theta \frac{\partial}{\partial \theta}) E(r, \theta, \varphi) + \frac{1}{r^2 \sin^2 \theta} \frac{\partial^2}{\partial \varphi^2} E(r, \theta, \varphi) + k_{1,2}^2 E = 0$$

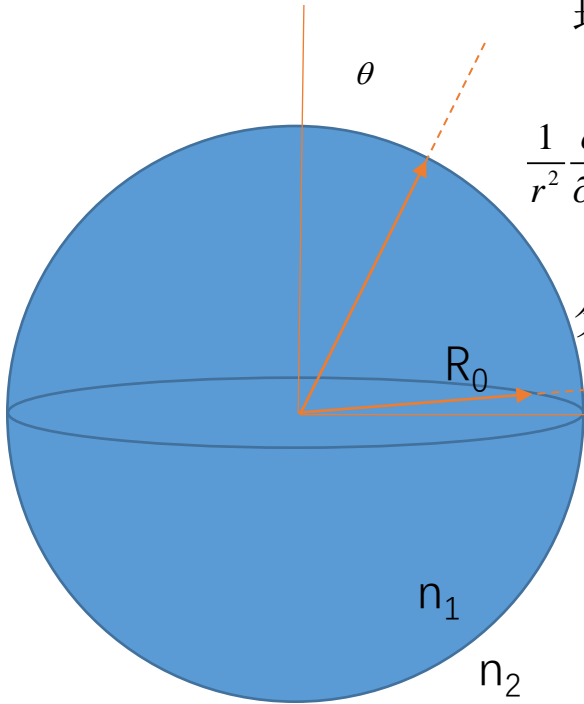
分离变量 $E(r, \theta, \varphi) = E(r)E(\theta)E(\varphi)$

$$\frac{\partial^2}{\partial \varphi^2} E(\varphi) = -m^2 E(\varphi)$$

$$\frac{d}{dr} (r^2 \frac{dE(r)}{dr}) + [k_{1,2}^2 r^2 - l(l+1)] E(r) = 0$$

$$(1-x^2) \frac{d^2 E(x)}{dx^2} - 2x \frac{dE(x)}{dx} + [l(l+1) - \frac{m^2}{1-x^2}] E(x) = 0$$

其中 $x = \cos \theta$

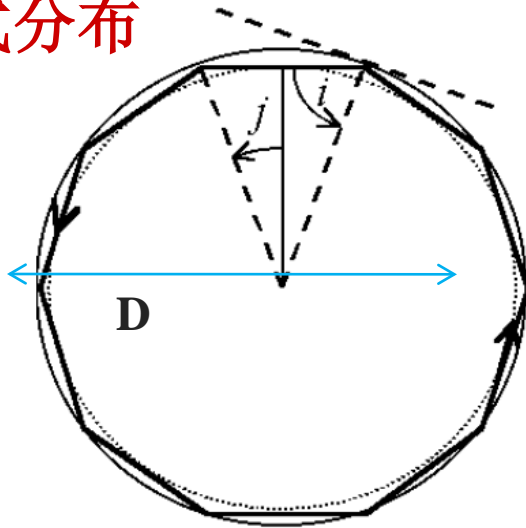




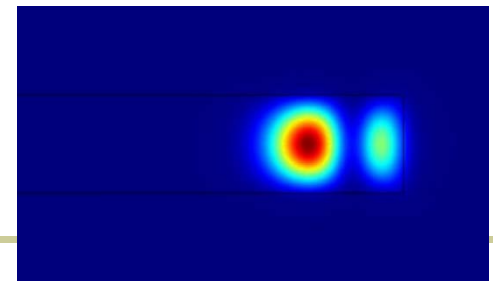
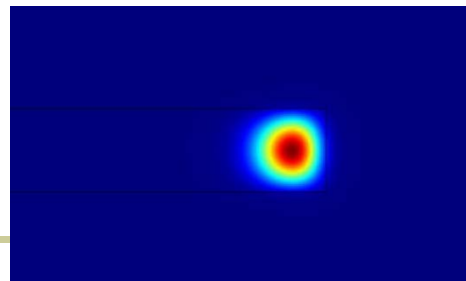
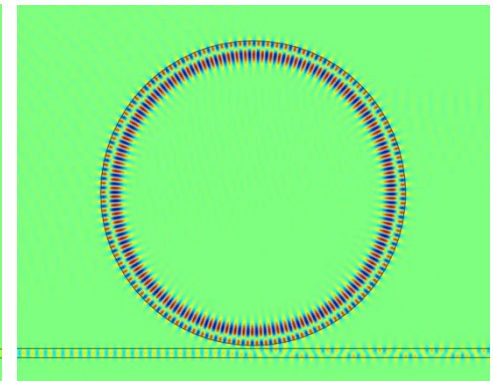
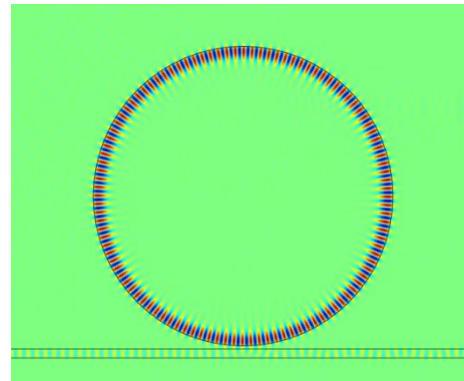
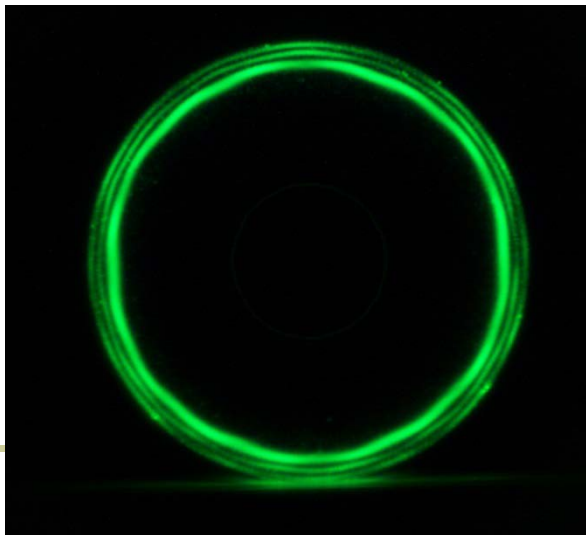
光学微腔



模式分布

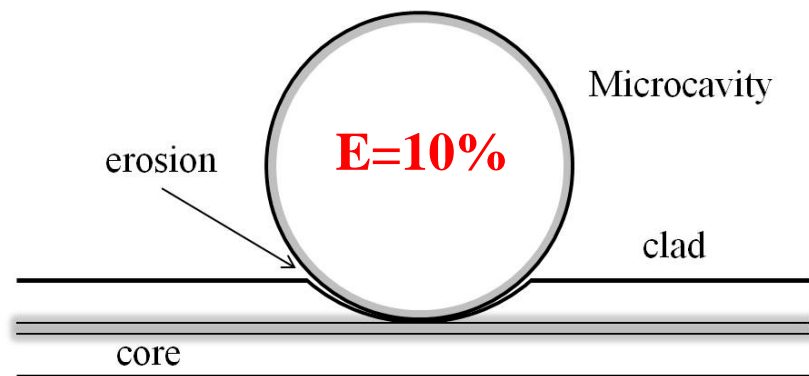


$$n\pi D = m\lambda = m\frac{2\pi c}{\omega} \quad \rightarrow \quad \omega = \frac{2mc}{nD}$$

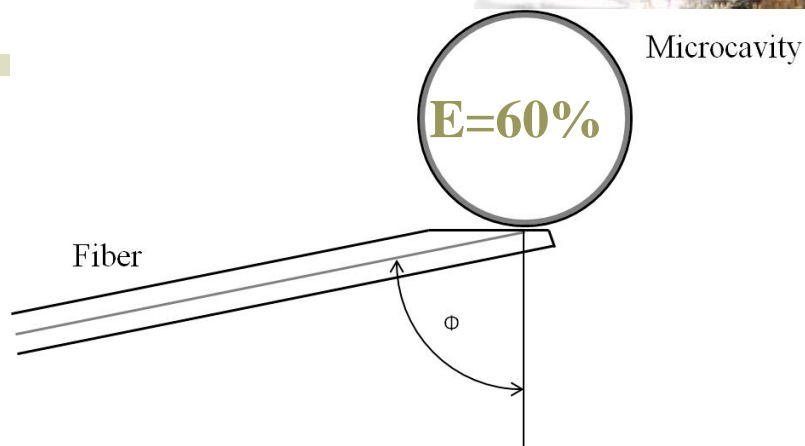




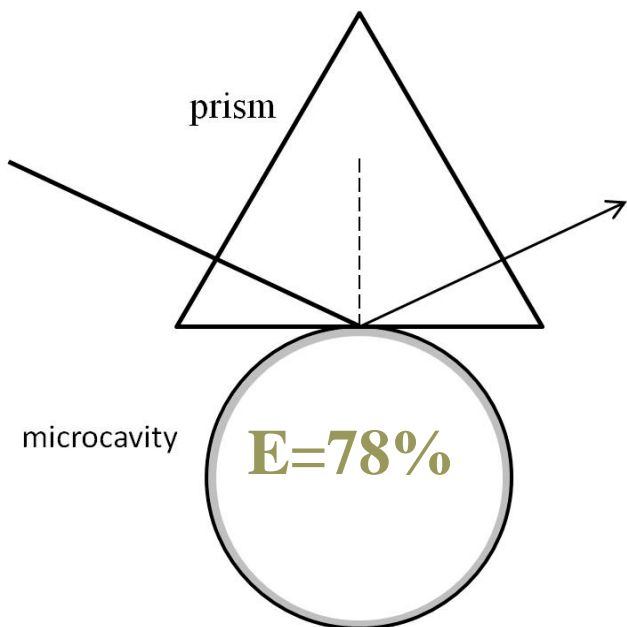
耦合方式比较



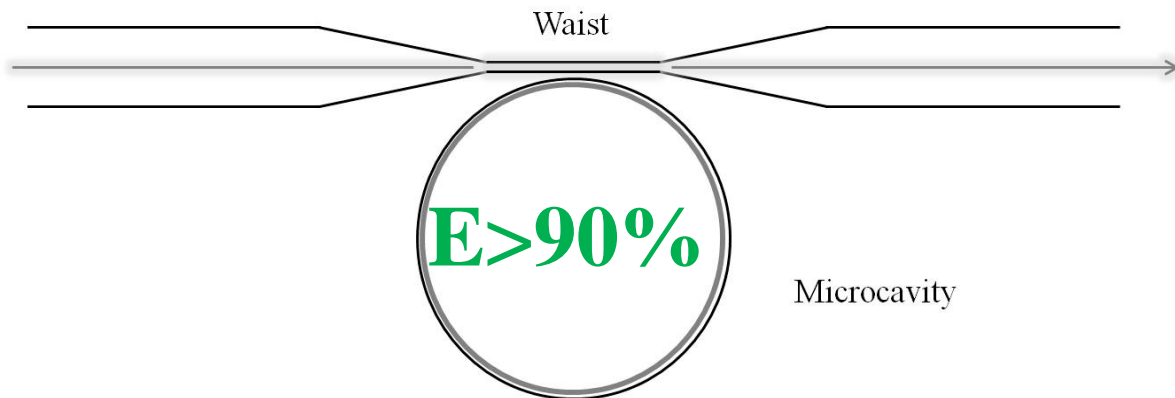
N. Dubreuil et al., *Opt. Lett.* **20**, 813-815 (1995).



V. S. Ilchenko et al., *Opt. Lett.* **24**, 723-725 (1999).



L. Collot et al., *Europhys. Lett.* **23**, 327-334 (1993).



J. C. Knight et al., *Opt. Lett.* **22**, 1129-1131 (1997).



光学微腔应用



- 光通信器件(滤波器、路由器、光开关...)
- 非线性光学[拉曼、布里渊、四波混频、(二、三次)谐波]
- 超灵敏传感器(单分子探测)
- 精密测量

超窄线宽激光器

微型光频梳

- 腔-光力学
- 腔-量子电动力学
-



光学微腔应用



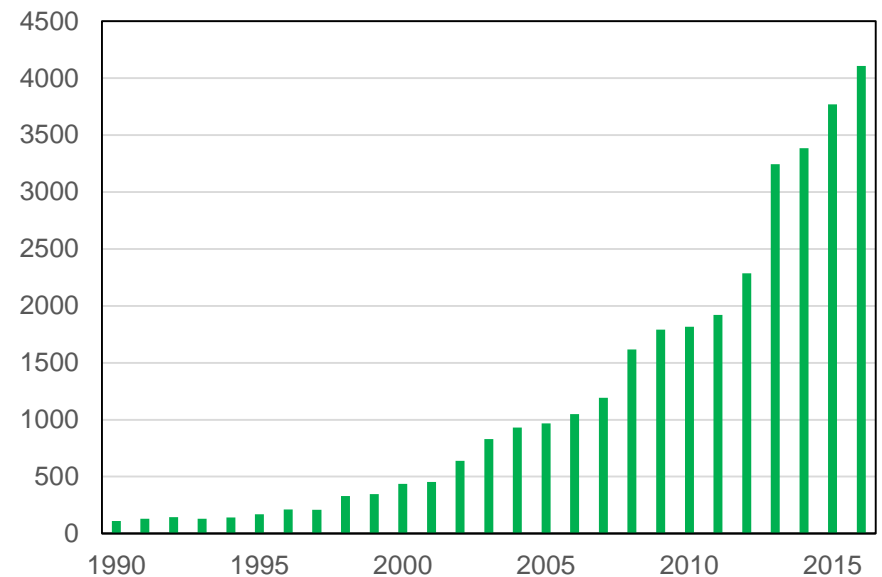
- 光通信器件（滤波器、路由器、光开关、隔离器 ...）
- 非线性光学[拉曼、布里渊、四波混频、(二、三次)谐波]
- 超灵敏传感器(单分子探测)
- 精密测量

超窄线宽激光器、

微型光频梳

- 腔-光力学
- 腔-量子电动力学
-

每年出版的文献数



关键词: microcavity (ISI Web of Knowledge)



光学微腔应用



参考文献

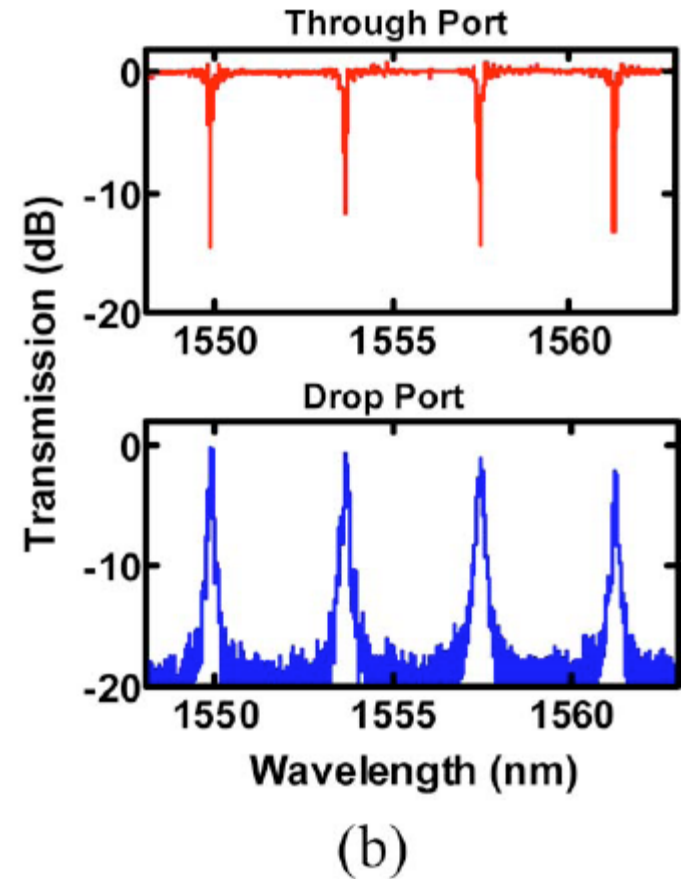
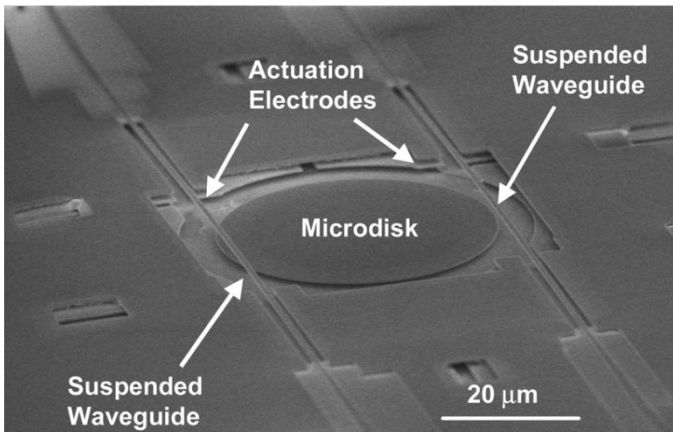
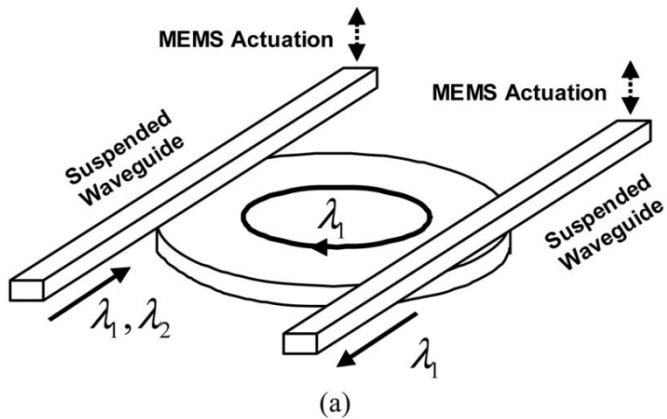
1. K. J. Vahala, Optical microcavities (World Scientific Publishing, Singapore, 2004).
2. K. J. Vahala, “Optical microcavities,” Nature **424**, 839-846 (2003).
3. A. B. Matsko and V. S. Ilchenko, “Optical resonators with whispering-gallery modes-part I: Basics,” IEEE J. Sel. Top. Quantum Electron. **12**, 3-14 (2006).
4. V. S. Ilchenko and A. B. Matsko, “Optical resonators with whispering-gallery modes-part II: Applications,” IEEE J. Sel. Top. Quantum Electron. **12**, 15-32 (2006).
5. H. Cao and J. Wiersig, “Dielectric microcavities: Model systems for wave chaos and non-Hermitian physics,” Rev. Mod. Phys. **87**, 61 (2015).



光学微腔应用举例



光通信器件-上下话路滤波器(add-drop filter)



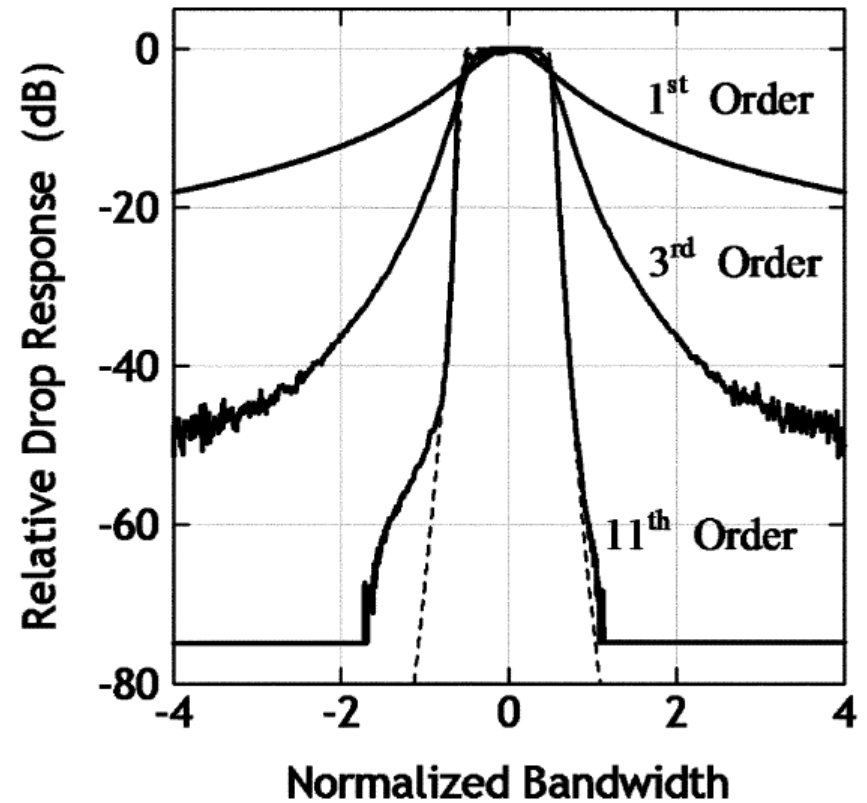
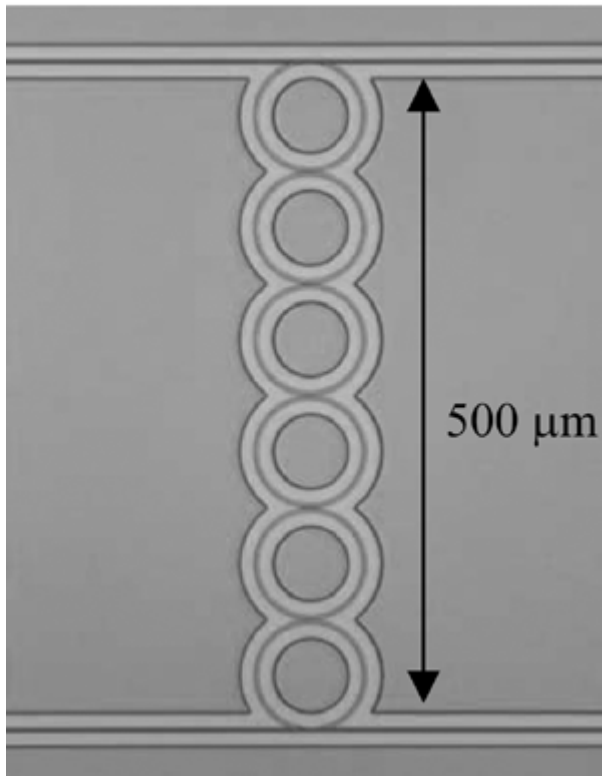


光学微腔应用举例



光通信器件-高阶滤波器

6th Order Filter

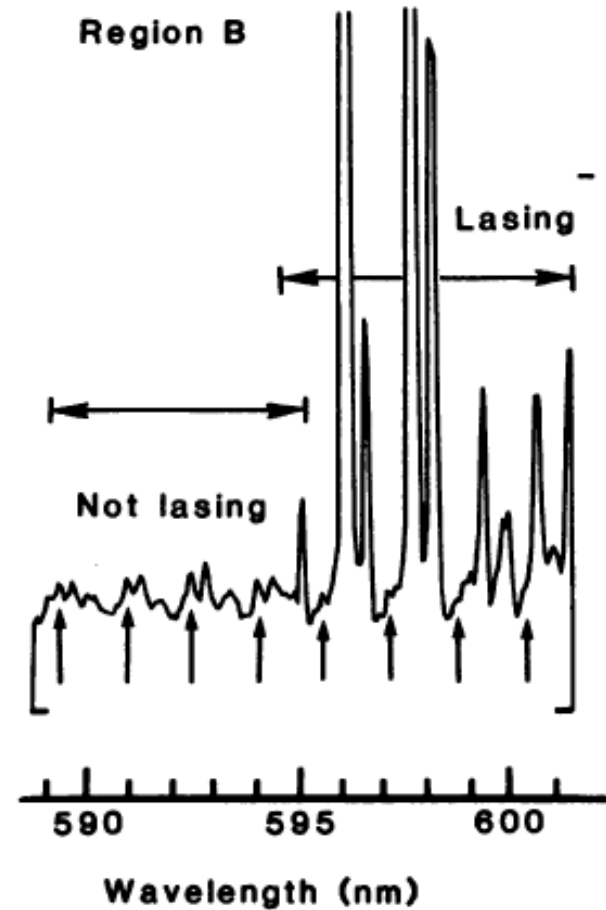
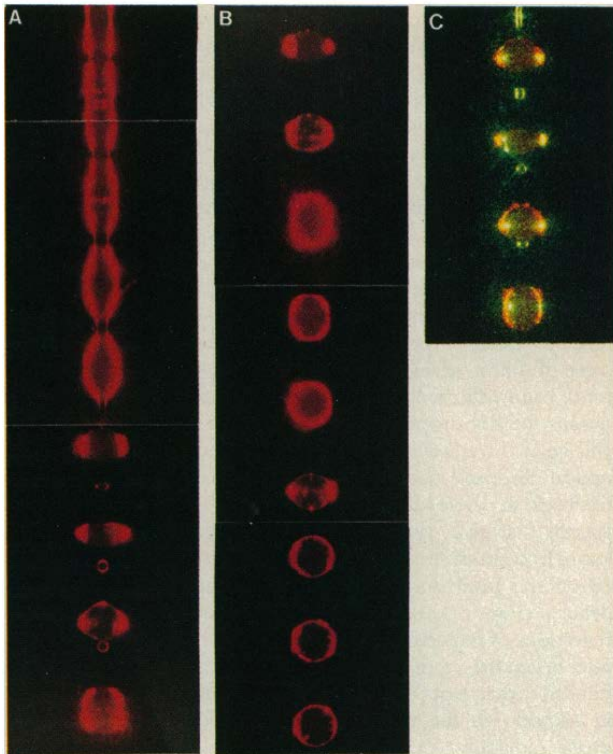




光学微腔应用举例



小液滴激光器 (Droplets)

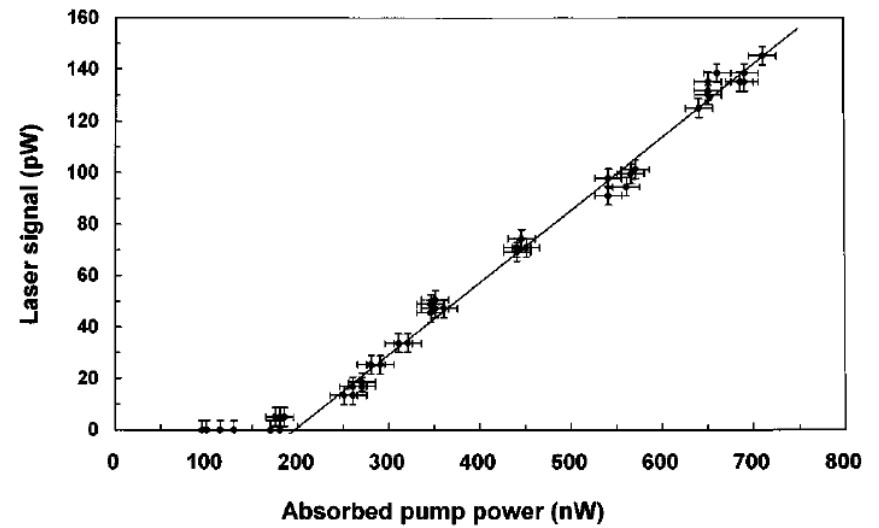
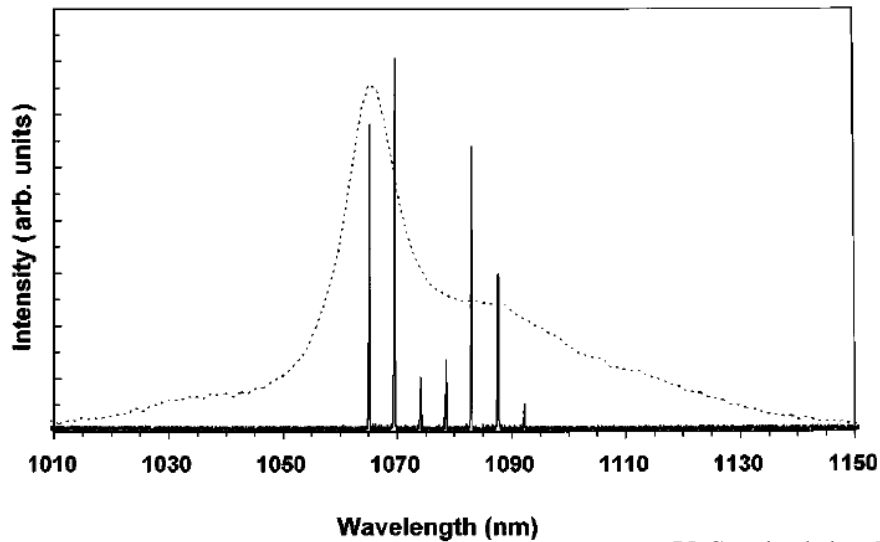
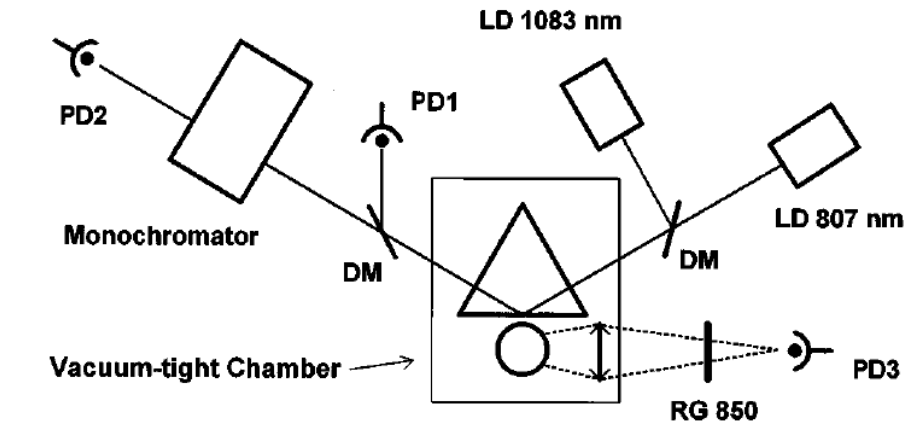




光学微腔应用举例



微球激光器



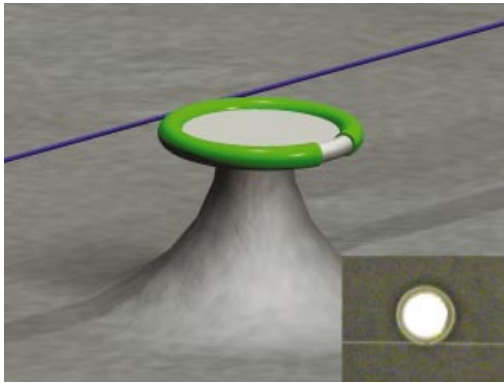
阈值: 200 nW



光学微腔应用举例



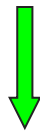
超窄线宽激光器



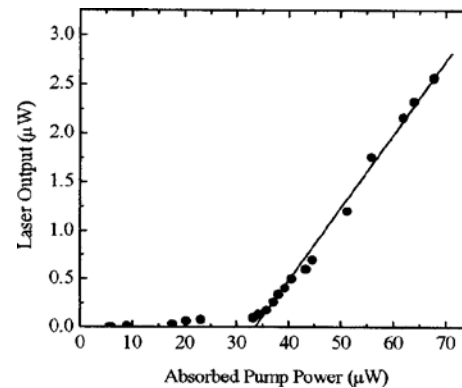
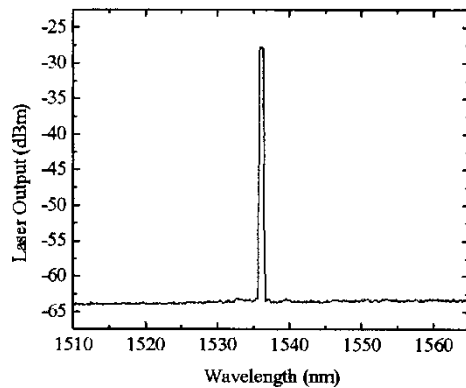
低阈值: 34 微瓦

Schawlow-Townes formula

$$\Delta\nu = \frac{h\nu^3 n_{sp}}{4\pi} \cdot \frac{1}{P} \cdot \frac{1}{Q^2}$$



超窄线宽: Hz 量级





光学微腔应用举例



最小的纳米激光器 (44 nm)

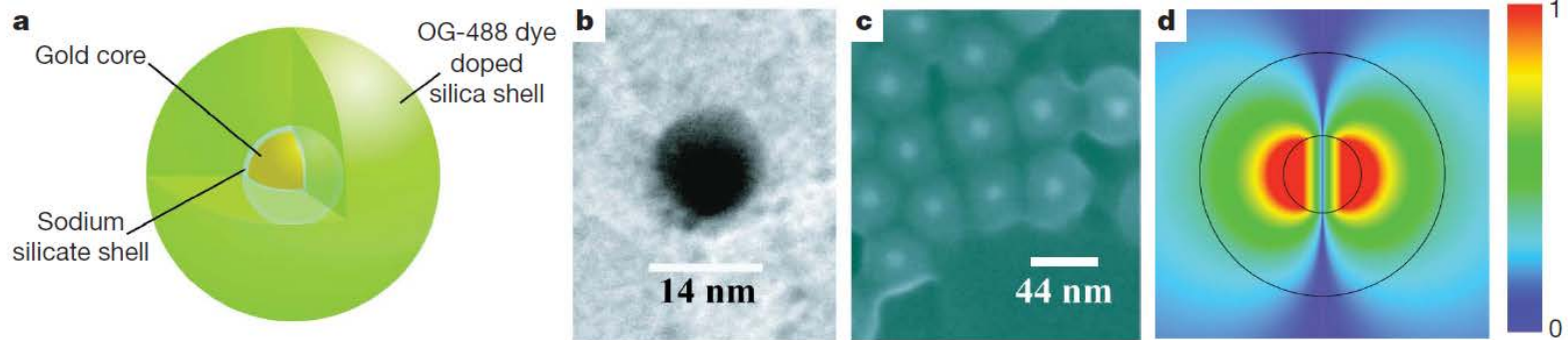
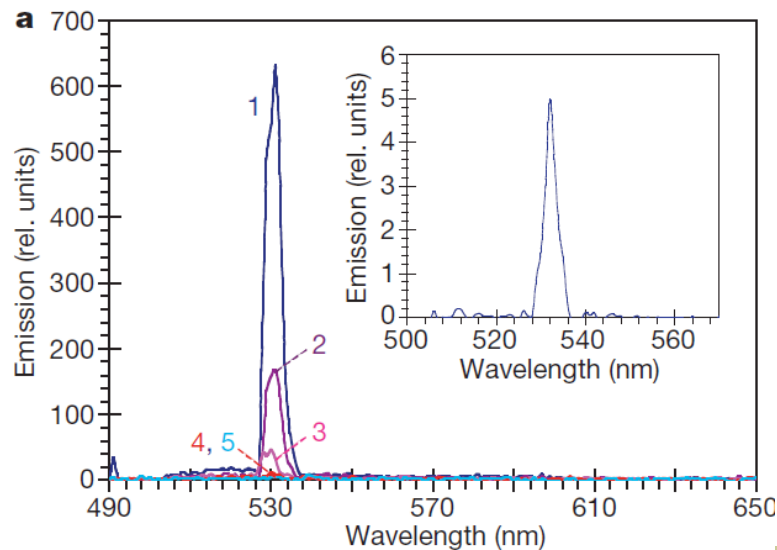


Figure 1 | Spaser design.

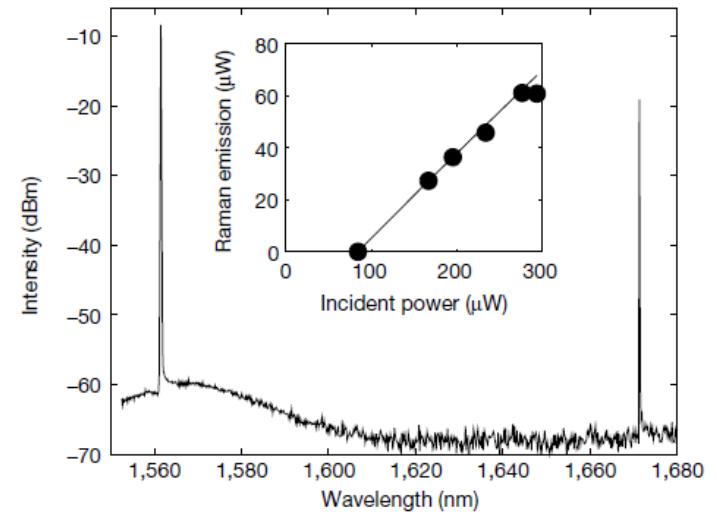
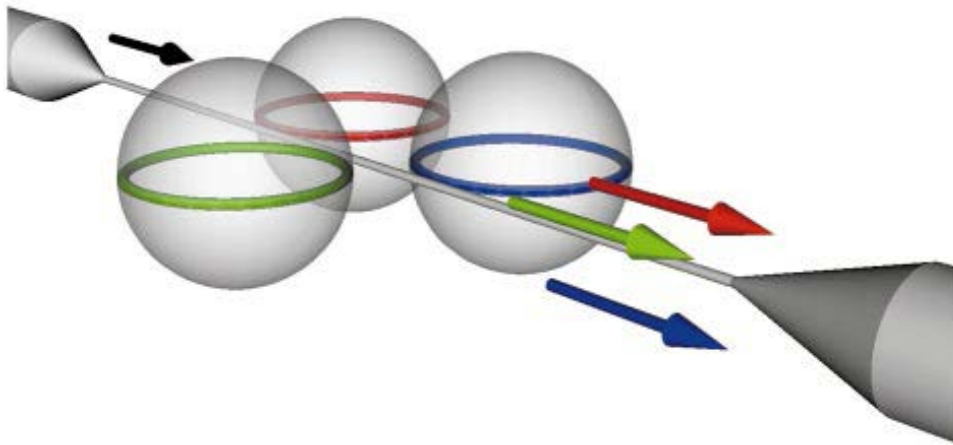




光学微腔应用举例



低阈值拉曼激光



Ultralow threshold: **86 μW**

$$P_t = C(\Gamma) \frac{\pi^2 n^2}{g_R \lambda_p \lambda_R} V_{\text{eff}} \cdot \left(\frac{1}{Q_0} \right)^2 \cdot \frac{(1+K)^3}{K}.$$

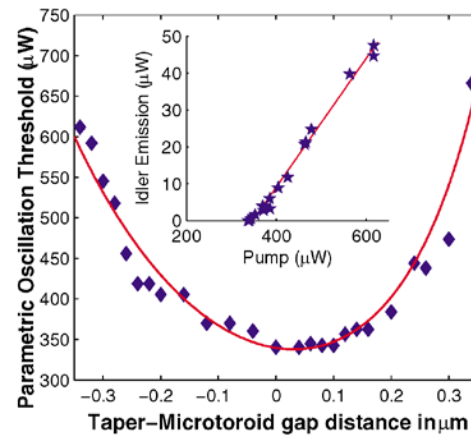
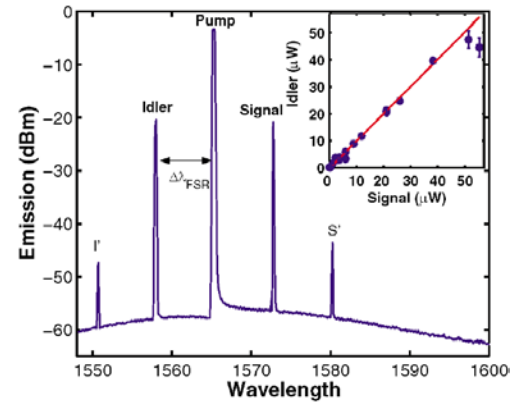
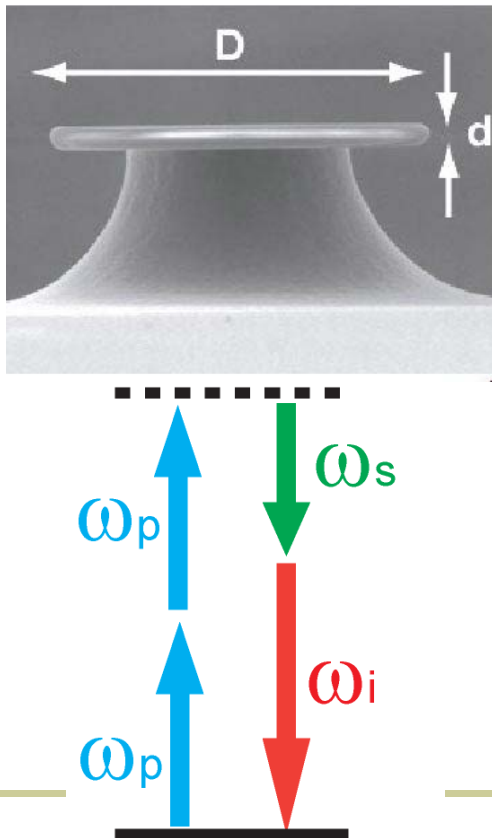


光学微腔应用举例



微型光频梳

参量振荡器



阈值: $339 \mu\text{W}$

转换效率: 36%

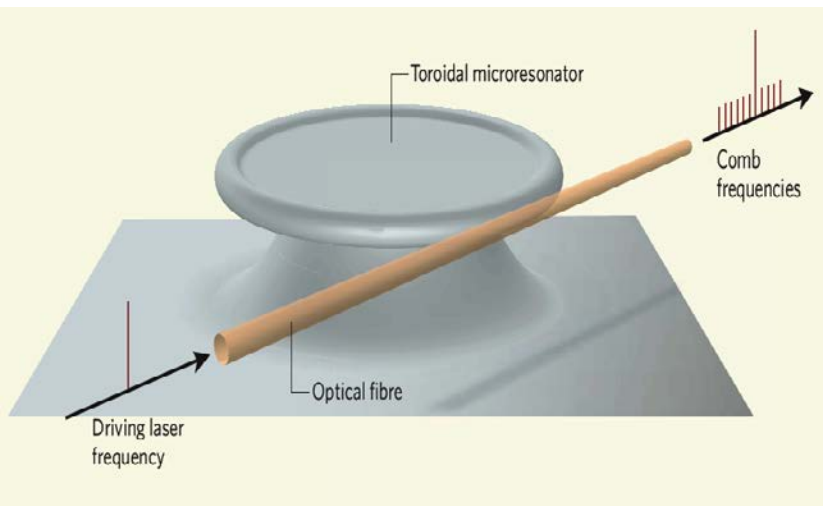


光学微腔应用举例

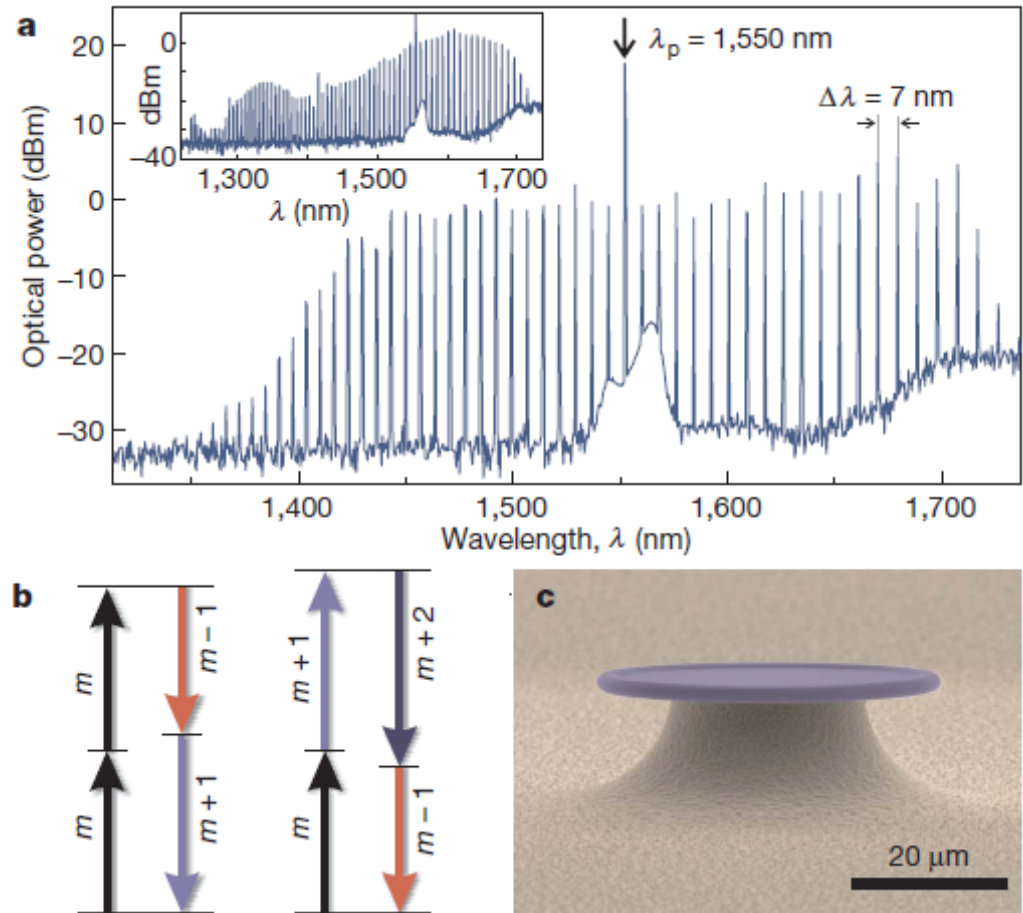


微型光频梳

级联的参量振荡 \rightarrow 光频梳



示意图

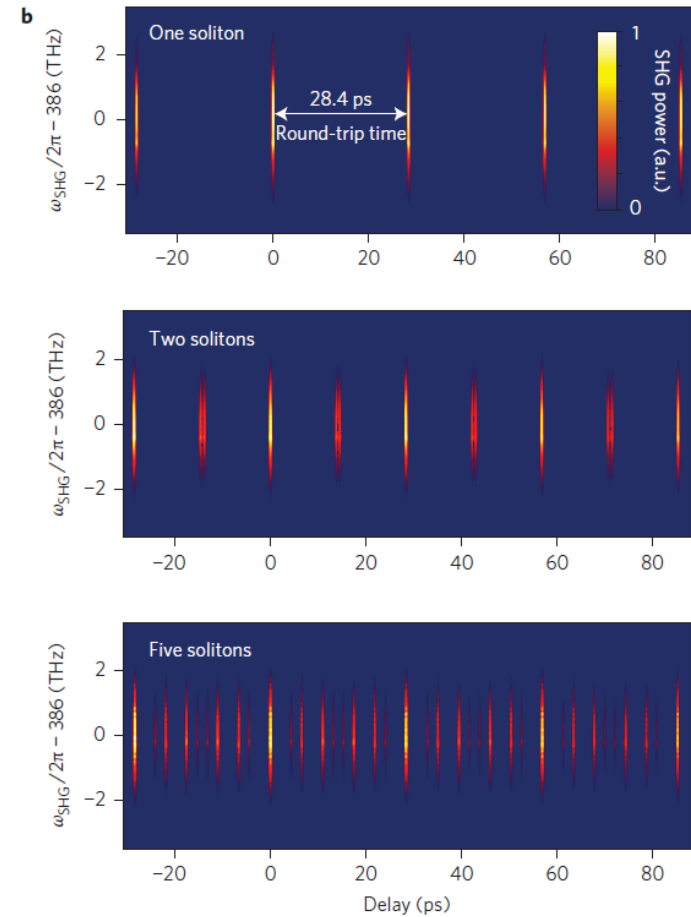
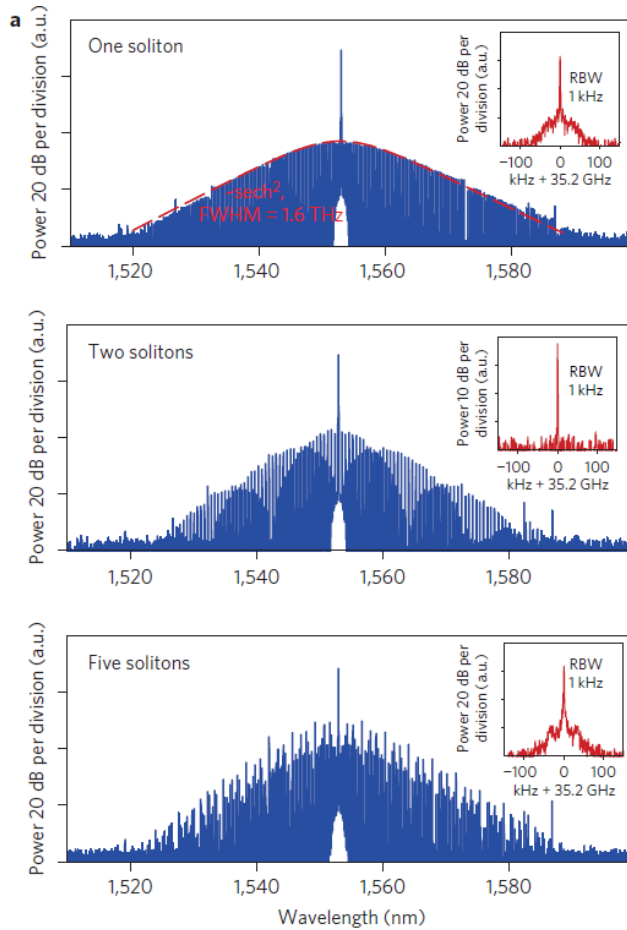
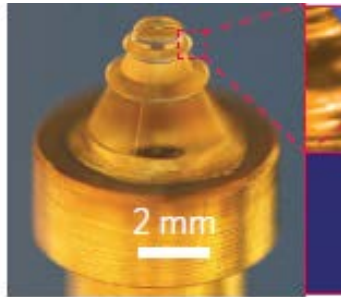




光学微腔应用举例



微型光频梳(时间孤子)





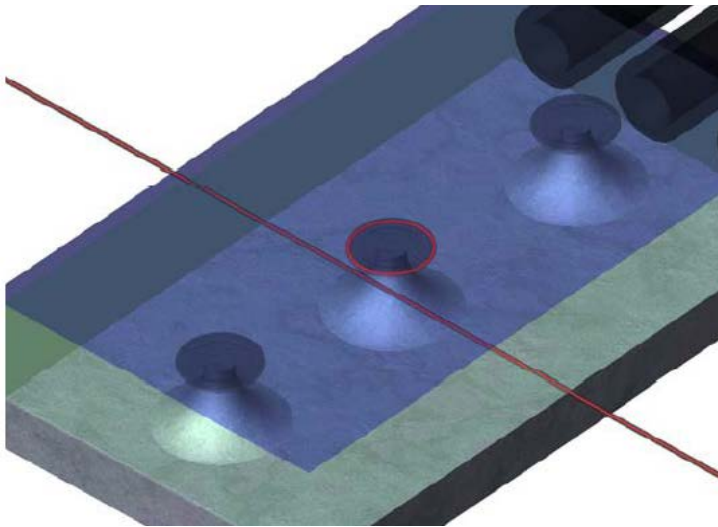
光学微腔应用举例



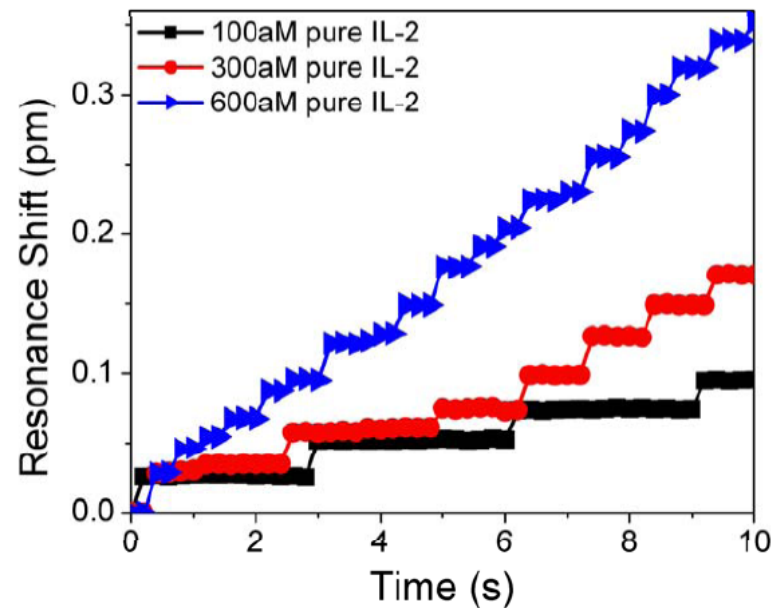
微型传感器

Label-Free, **Single-Molecule Detection** with Optical Microcavities

Base on the shift of the resonant wavelength



Detection setup



The position of the resonance wavelength as a function of time at three different IL-2 concentrations.



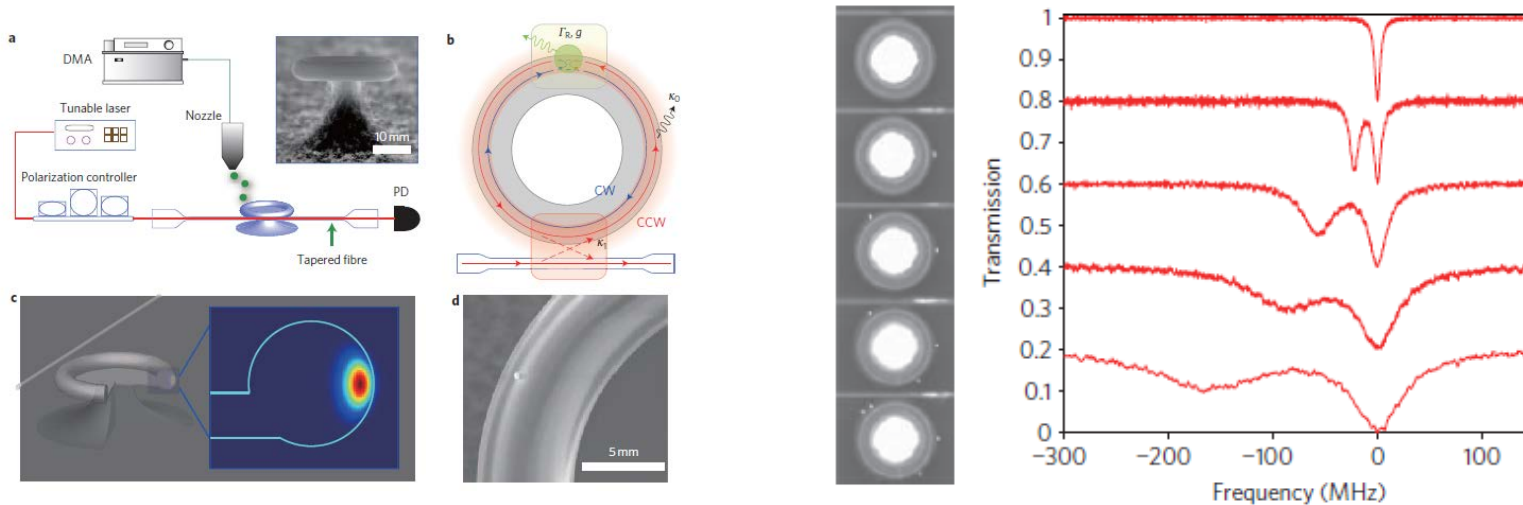
光学微腔应用举例



微型传感器

Single nanoparticle detection and sizing On-chip

Base on the mode splitting induced by scattering



Detection setup

Transmission spectra and the amount of splitting versus number of deposited particles.



作业

用Comsol软件仿真直径为100微米的微球腔（材料为氧化硅）在1550 nm波长附件的TE和TM模式分布，并分别计算其基模式的模式体积。

备注：球为轴对称图形，可简化为二维模型。

选作：由于微球结构有解析解，大家可以考虑解析解与Comsol仿真结果的比较。